

<論 文>

Glass/Epoxy 복합재료의 파괴조건 및 균열진전거동

김정규* · 김도식**

(1992년 3월 17일 접수)

A Study on the Crack Growth Behavior and Fracture Criterion of Glass/Epoxy Composites

Jung-Kyu Kim and Do-Sig Kim

Key Words: Glass/Epoxy Plain Woven Composites(glass/epoxy 평직 복합재료), Energy Release Rate(에너지 해방률), Fracture Toughness(파괴인성), Crack Growth Rate(균열성장속도), Crack Deflection(균열 휨), Notch Depth(노치깊이)

Abstract

The effects of the stress ratio and the fiber orientation ($0^\circ/90^\circ$ and $\pm 45^\circ$) to the load direction on the fracture behavior of the glass/epoxy plain woven composites were studied. The tests were carried out using compact tension specimens under both static and fatigue loading. The values of K_q obtained from the energy release rate are independent of notch depth ($a/W = 0.2 \sim 0.6$) for the $0^\circ/90^\circ$ specimens, but decreases with an increase in a/W for the $\pm 45^\circ$ specimens. And K_q has higher values than K_{ASTM} has been evaluated by the ASTM E399 test procedure. It is shown in the relation between fatigue crack growth rate da/dN and stress intensity factor range ΔK using modified shape correction factor that da/dN decreases with a decrease in stress ratio and is lower for $\pm 45^\circ$ specimens than for $0^\circ/90^\circ$. These phenomena can be explained by the crack deflection to the load direction.

1. 서 론

복합재료는 비강도 및 비강성의 기계적 특성과 내식성, 내마멸성 등의 기능적 특성의 우수성으로 인하여 항공우주산업 및 자동차산업을 비롯한 1차 기계 구조물부재에 이르기까지 이의 사용이 확대되고 있다. 따라서 이를 이용한 기계 구조물의 신뢰성 향상을 위하여 결합강도의 평가,^(1,2) 균열의 안정 또는 불안정 성장조건,^(3,4) 피로손상거동^(5,6) 등에 관하여 많은 연구가 진행되고 있다. 이들 연구는 복합재료를 이방성균질재 또는 비균질재로 취급하

여 동방성재료를 대상으로 한 파괴역학적 및 응력 해석적 방법이 널리 응용되고 있으며 또한 AE 등의 비파괴 실험방법 등이 도입되어 검토되고 있다.

특히 파괴인성 평가는 금속재료에서의 평면변형율 파괴인성치 K_{IC} , J_{IC} 에 해당하는 것이 아니고 단순히 파괴개시조건으로서의 G_c , K_c 또는 J_c 등으로 논하는 경우가 많다. 이는 복합재료의 파손양상 및 손상기구가 강화섬유의 배열방향에 따라 다를 뿐만 아니라 예균열(pre-crack)선단에서의 균열진전이 동일 평면상에 일어나지 않는 경우가 많아서 평면변형율 파괴인성을 만족하기 위한 실험조건이 없기 때문이다. 또한 피로균열진전거동에 있어서도 피로손상과 미시적 파괴기구와의 관계가 미약할 뿐만 아니라 이방성효과를 평가할 수 있는 기구도 불

* 정희원, 한양대학교 기계설계학과

** 정희원, 한양대학교 기계설계학과 대학원

충분한 상태이다. Wang 등⁽⁷⁾ 및 Kocsis 등⁽⁸⁾은 단섬 유강화복합재료에서 피로 균열진전속도를 등방성재료에 적용되고 있는 K 에 의하여 관계지수로 표현하고 있으나 이방성이 존재하는 경우에는 이를 고려한 형상보정계수 등에 의하여 K 의 평가가 가능함이 보고되고 있다.^(9,10) 그러므로 복합재료를 광범위하게 응용하기 위해서는 이의 손상허용평가 및 파손조건이 얻어져야 하고, 특히 섬유의 배열방향에 따른 균열성장거동 및 안정, 불안정 파괴조건을 평가할 수 있는 방법이 확립되어야 한다.

본 연구에서는 유리섬유강화 플라스틱복합재료를 준비하여 이 재료의 섬유방향에 따른 파괴인성 및 피로 균열성장거동을 평가하였다.

2. 에너지 해방률 및 형상보정계수

단위표면당 균열성장동안의 변형에너지 변화율로서 규정되는 에너지 해방률 G 는 다음과 같이 컴플라이언스의 변화로 나타낸다.

$$G = \frac{P^2}{2} \frac{dC}{da} \quad (1)$$

여기에서 P 는 하중, C 는 컴플라이언스 그리고 a 는 균열길이이다.

따라서 두께가 B 이고, 폭이 W 인 시험편에서의 에너지 해방률 G 는 다음과 같다.

$$G = \frac{1}{2} \frac{P^2}{BW^2} \frac{dC}{d(a/W)} \quad (2)$$

또한 이방성이 존재하는 복합재료에서는 균열의 성장이 Fig. 1에서와 같이 반드시 동일 평면상에서 일어나지 않는 경우가 있으며 미소한 굴곡균열(kink crack)의 성장에 따른 에너지 해방률 G 는 식(3)과 같이 나타내어 진다.⁽¹¹⁾

$$G = \left[\left(\frac{a_{22}}{a_{11}} \right)^{1/2} + \frac{2a_{12} + a_{66}}{2a_{11}} \right]^{1/2} \left[\left(\frac{a_{11}a_{22}}{2} \right)^{1/2} \bar{K}_{Ib}^2 + \frac{a_{11}}{\sqrt{2}} \bar{K}_{IIb}^2 \right] \quad (3)$$

여기서 a_{ij} 는 컴플라이언스 강성텐서이며, \bar{K}_I 및 \bar{K}_{IIb} 는 Mode I 및 Mode II에서의 응력확대계수이다. 그러나 식(3)에서 균열진전이 Mode I이라면 ($\alpha=0$) $K_{IIb}=0$ 이므로

$$G = EK_I^2$$

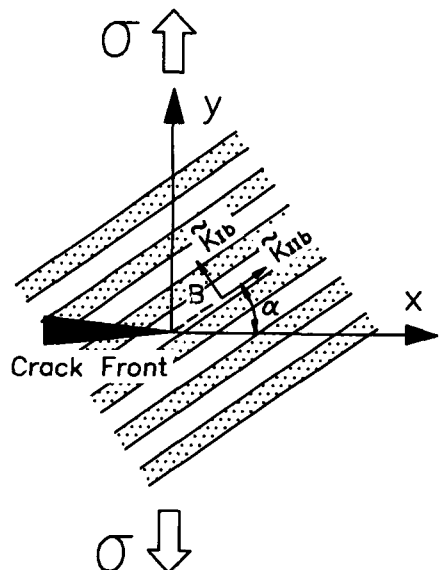


Fig. 1 Geometry of kink crack formation for an initial crack. α is the angle between fiber direction and the X -direction

$$= \left[\left(\frac{a_{22}}{a_{11}} \right)^{1/2} + \frac{2a_{12} + a_{66}}{2a_{11}} \right]^{1/2} \left(\frac{a_{11}a_{22}}{2} \right)^{1/2} K_I^2 \quad (4)$$

한편 균질탄성체에 있어서 컴팩트인장 시험편의 경우, Mode I에서의 응력확대계수 $K^{(12)}$ 는 식(5)와 같이 표현된다.

$$K_I = \sigma \sqrt{\pi a f(a/W)} \quad (5)$$

이때의 $f(a/W)$ 는 유한폭에 대한 형상보정계수로서 식(6)과 같다.

$$f(a/W) = 5.320 - 7.459(a/W) + 16.574(a/W)^2 - 23.798(a/W)^3 + 18.219(a/W)^4 \quad (6)$$

따라서 이방성 또는 준동방성체인 경우, 식(5)를 응용하여 K 를 구하기 위해서는 식(4)와 (5)의 관계로부터 새로운 형상보정계수 $f^*(a/W)$ 의 산출이 필요하다.

3. 실험방법

사용재료는 모재 Epoxy와 강화섬유 E-Glass가 함유된 ($V_f \approx 60\%$) 평직(plain woven) 복합재료로서, 한층의 두께가 약 0.18~0.20 mm인 플레이어를 30매 적층하여 가압(온도 180~190°C, 압력 100 kgf/mm², 시간 1~2 hr.) 한 것이다. 파괴거동에 미치는

Table 1 Mechanical properties

| | E_{xx} (GPa) | E_{yy} (GPa) | ν_{xy} | G_{xy} (GPa) | E (GPa) |
|--------------------|----------------|----------------|------------|----------------|-----------|
| $0^\circ/90^\circ$ | 23.6 | 23.6 | 0.11 | 4.1 | 17.1 |
| $\pm 45^\circ$ | 11.7 | 11.7 | 0.45 | 10.6 | 15.8 |

E_{xx} : longitudinal elastic modulus

E_{yy} : transverse elastic modulus

ν_{xy} : Poisson's ratio

G_{xy} : shear modulus

E : equivalent elastic modulus, Eq.(4)

섬유방향의 영향을 파악하기 위하여 시험편의 채취는 하중방향에 대한 섬유방향이 $0^\circ/90^\circ$ 및 $\pm 45^\circ$ 가 되도록 하였다. Table 1은 이들 시험편의 탄성특성을 정리한 것으로, ASTM D3039규정에 의한 인장실험으로 평가하였다.

시험편 형상은 CT형(폭 $W=50.8$ mm, 두께 $B=6$ mm)이며, 초기균열 a 는 두께 3 mm의 금속 톱으로 가공하였지만 이 선단의 $0.2a$ 는 더욱 예리하게 하기 위하여 슬리팅 메탈 쏙(slitting metal saw)로 주의깊게 넣었다. 파괴인성 평가는 1 mm/min의 일정변위속도로 하였으며, 각 시험편의 G 값 산출에 있어서의 커플라이언스는 균열깊이 a/W 가 0.2~0.6의 시험편을 각각 2개씩 준비하여 이를 시험편의 하중-변위곡선으로부터 구하였다.

한편 피로시험은 $a/W=0.4$ 인 CT시험편에 대하여 하중반복속도 10 Hz인 정현파로 하고, 응력비 R 은 0.1 및 0.3으로 하였다. 균열길이는 실험중 균열선단에서 발생하는 백화현상으로 인하여 이의 측정이 어려우므로 균열선단에 잉크를 투입하여 (dye injection penetrant method)⁽¹³⁾ 시험편 표면에 가시화된 양상을 이동현미경으로 측정하였다.

4. 실험결과 및 검토

4.1 균열성장거동

Fig. 2는 $\pm 45^\circ$ 및 $0^\circ/90^\circ$ 시험편의 하중-변위곡선을 나타낸 대표적인 예로서 $a/W=0.4$ 의 것이다. P_0 는 초기탄성기울기의 95% 옵셋라인(offset line)으로 구한 하중값이며, P_{max} 는 최대하중값이다. a/W 의 값에 따라 $\pm 45^\circ$ 시험편에서는 P_{max} 의 56~60% 그리고 $0^\circ/90^\circ$ 시험편에서는 56~64% 정도에서부터 비선형거동을 나타내며, 최대하중 이후

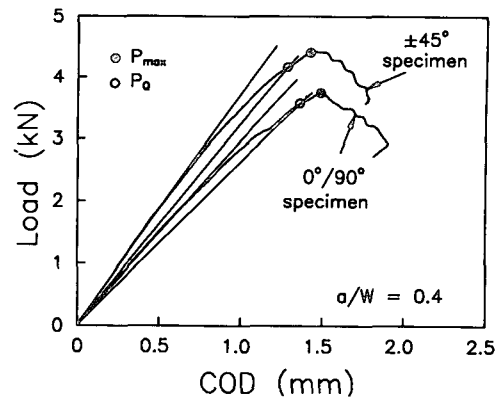
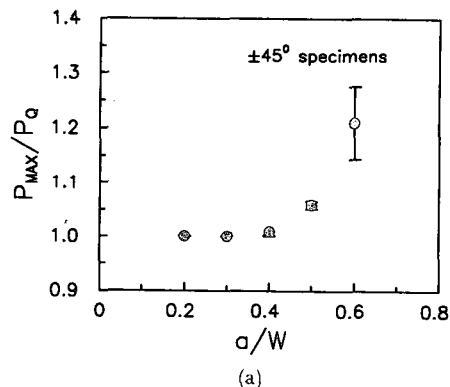
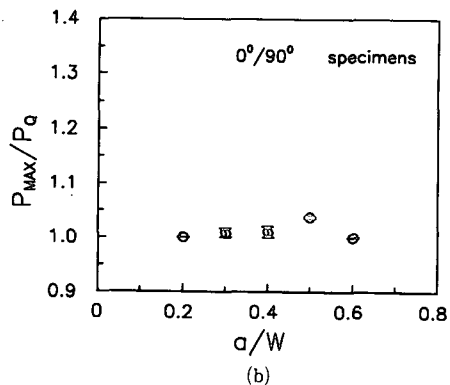


Fig. 2 Typical load versus COD curves



(a)



(b)

Fig. 3 (a), (b) Relation between P_{max}/P_0 and a/W
(a) $\pm 45^\circ$ specimen (b) $0^\circ/90^\circ$ specimen

에서는 하중의 완만한 저하가 계속되면서 불안정파괴가 일어나고 있다. 일반적으로 복합재료의 균열발생하중으로는 (i) 미시적 균열발생에 주목한 비선형거동의 개시하중⁽¹⁴⁾ 또는 팝-인(pop-in)하중⁽¹⁵⁾, (ii) ASTM E399에 기본을 두고 거시적 균열

성장에 주목한 P_Q 하중,(^{16,17}) (iii) 거시적 불안정파괴에 주목하는 최대하중(¹⁷)등이 있다. 본 연구에서와 같이 섬유와 모재와의 계면강도가 낮은 재료에서는 비교적 낮은 하중에서 국부적인 손상이 생긴다고 보고되고 있다.⁽¹⁴⁾ 그러나 예균열 선단에 존재하는 섬유의 방향에 따라 미시적 손상이 발생하는 하중값에 변화가 크므로, 균열성장거동을 (ii) 및 (iii)의 하중에 주목하였다.

먼저 균열선단에서의 변형 및 파괴거동을 밝히기 위하여 P_{max}/P_Q 와 a/W 의 관계에 대하여 검토하였다. Fig. 3(a,b)는 이의 결과로서, $\pm 45^\circ$ 시험편의 $a/W=0.6$ 의 것을 제외하고는 $P_{max}/P_Q \leq 1.10$ 의 범위에 존재하여 응력확대계수 K 에 의하여 파괴조건을 평가할 수 있다고 생각되며 또한 이들의 값에 커다란 변화가 보이지 않으므로 이들 시험편의 거시적 균열성장거동의 양상에는 차이가 없음을 시사한다고 할 수 있다.

Fig. 4 및 Fig. 5는 이들 시험편의 미시적 및 거시적 균열성장거동을 표면 및 파면에서 관찰한 대표적인 예이다. $0^\circ/90^\circ$ 시험편에서는 최대인장응력이 작용하는 0° 방향의 섬유에서 인발 및 파손을 유발하여 심하게 굽곡되면서 진전하지만 90° 방향의

섬유에서는 스플리팅(splitting) 현상 및 섬유와 모재와의 박리(debonding) 현상으로 하중방향에 대하여 거의 수직으로 진전한다. 한편 $\pm 45^\circ$ 시험편의 경우, $\pm 45^\circ$ 방향으로 접하는 섬유경계에서의 전단파괴에 의하여 균열은 지그재그(zig-zag) 형태를 이루면서 성장하지만 거시적인 파괴경로는 전자의 경우와 마찬가지로 원래의 노치방향과 동일한 평면에 남게 된다.

그러나 이들 균열은 P_{max} 근처에 도달하게 되면 전자는 지금까지와 같은 경로로 진전하지만 후자의 경우는 하중방향에 대하여 45° 방향으로 진전하게 되므로 이들 재료의 거시적인 균열성장거동은 P_{max} 에서부터 다른 양상을 나타낸다고 할 수 있다. 또한 $P_{max}/P_Q > 1.10$ 의 값을 나타낸 $\pm 45^\circ$ 시험편의 $a/W=0.6$ 에서는 노치선단에서부터 $+45^\circ$ 또는 -45° 방향으로 불안정 파괴가 일어나므로 Mode I에 의한 파괴인성평가는 불가능하며, 이러한 파괴가 일어나는 시점에서의 균열길이는 a/W 가 클수록 감소하는 경향이다.

4.2 파괴인성평가

파괴인성은 시험편의 캠플라이언스변화에 상당하

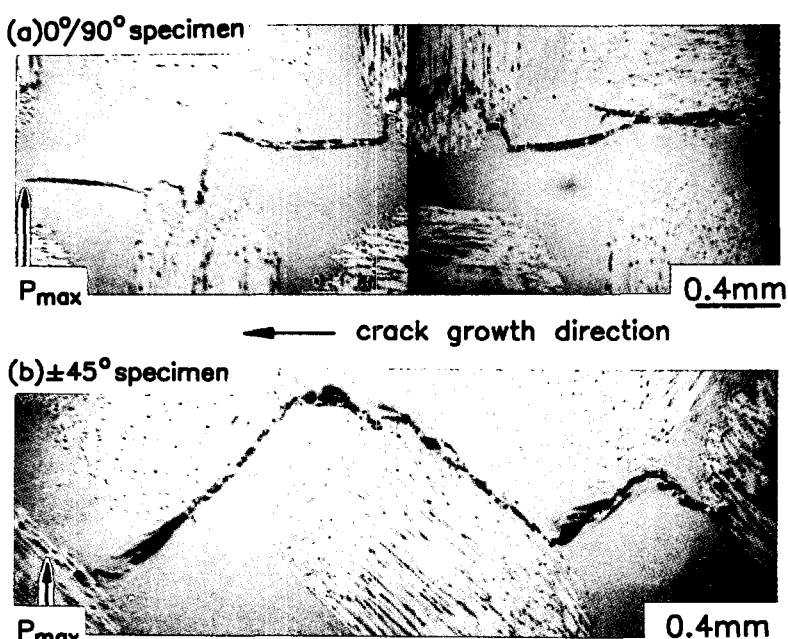


Fig. 4 Scanning acoustic micrographs showing the crack growth behavior at the surface of specimens ($a/W=0.4$)

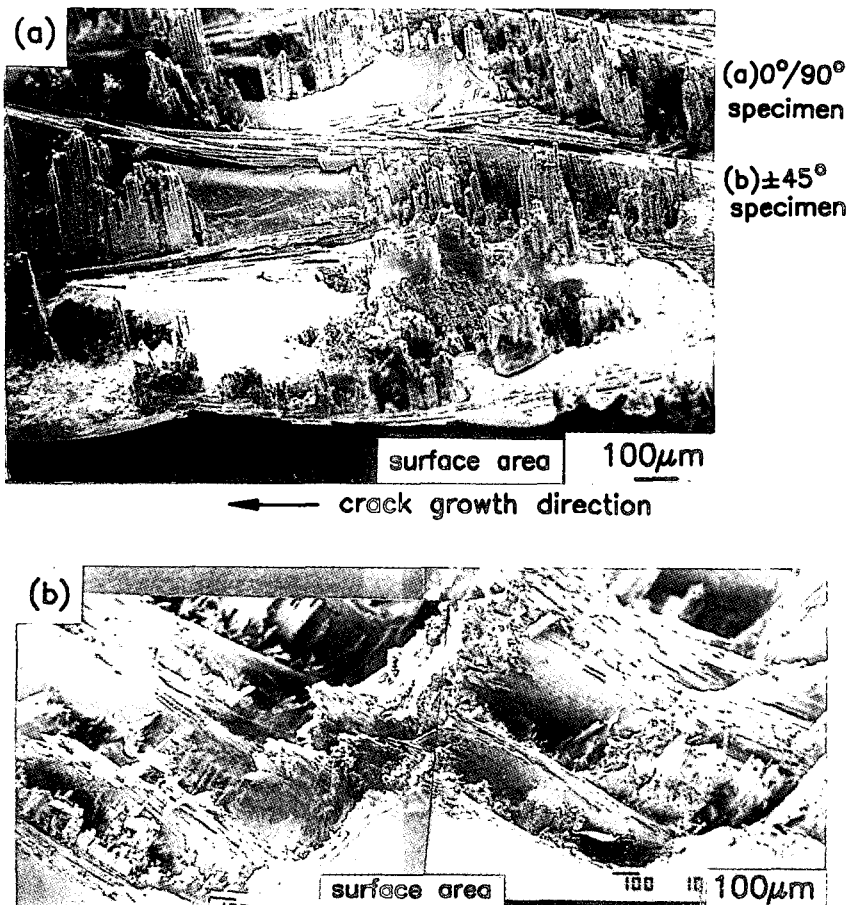


Fig. 5 Features of crack growth at the fracture surface of specimens
 $(a/W=0.4)$

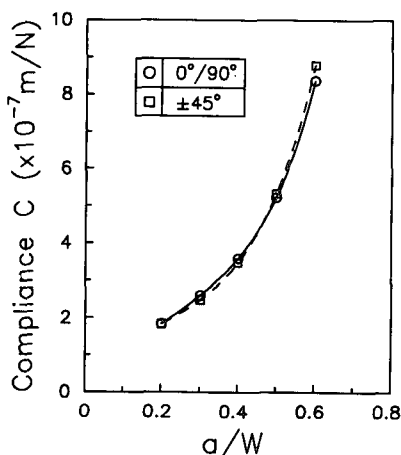


Fig. 6 Compliance of specimens as a function of notch depth a/W

는 하중 P_0 에 주목하여 에너지 해방율 G_0 를 평가하고 또한 이로부터 산출한 응력확대계수 K_0 및 ASTM E399⁽¹²⁾에 의한 K_{ASTM} 과의 관계로부터 검토했다.

Fig. 6은 각 시험편에 있어서, a/W 에 대한 컴플라이언스의 변화를 나타낸 것으로 식(7)과 같다.

$$C = A_0 + A_1(a/W) + A_2(a/W)^2 + A_3(a/W)^3 + A_4(a/W)^4 \quad (7)$$

여기에서 상수 A_0, A_1, A_2, A_3, A_4 는 다음과 같다.

$$\begin{aligned} 0^\circ/90^\circ \text{시험편} : A_0 &= 3.497 \times 10^{-7}, \quad A_1 = -3.04 \times 10^{-6} \\ &\quad A_2 = 1.663 \times 10^{-5}, \quad A_3 = -3.298 \times 10^{-5} \\ &\quad A_4 = 2.667 \times 10^{-5} \\ \pm 45^\circ \text{시험편} : A_0 &= 9.755 \times 10^{-8}, \quad A_1 = 1.981 \times 10^{-7} \end{aligned}$$

$$A_2 = 2.115 \times 10^{-6}, A_3 = -6.919 \times 10^{-6}$$

$$A_4 = 1.077 \times 10^{-5}$$

이들 관계로부터 식(2)에 의하여 산출한 에너지 해방률 G_q 는 a/W 의 변화에 대하여 Fig. 7의 관계를 나타낸다. $a/W = 0.3 \sim 0.5$ 에서의 G_q 는 커다란 변화가 보이지 않지만, 일반적으로 G_q 는 a/W 의 증가에 따라 감소하며 이의 경향은 $\pm 45^\circ$ 시험편의 경우가 현저하다. 또한 G_q 는 $\pm 45^\circ$ 시험편의 것이 $0^\circ/90^\circ$ 의 것에 비하여 높은 값을 나타내지만 $a/W = 0.6$ 에서는 오히려 반대의 현상이 나타나고 있다. 이것은 전 절에서 시사한 바와 같이 예균열(노치) 선단에서부터 Mode II에 의하여 불안정파괴가 일어나기 때문이라고 할 수 있다.

한편 균열의 진전거동에 있어서, 미시적으로는 지그재그형태로 성장하지만 거시적으로는 Mode I

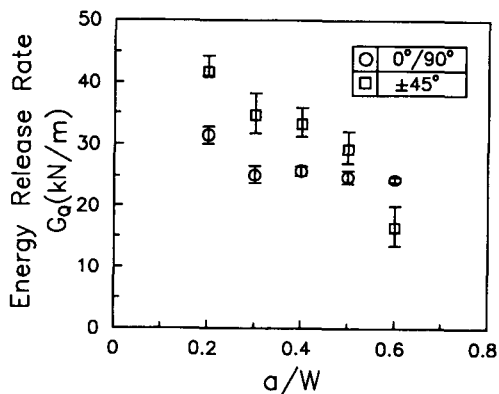


Fig. 7 Variation of energy release rate with notch depth a/W

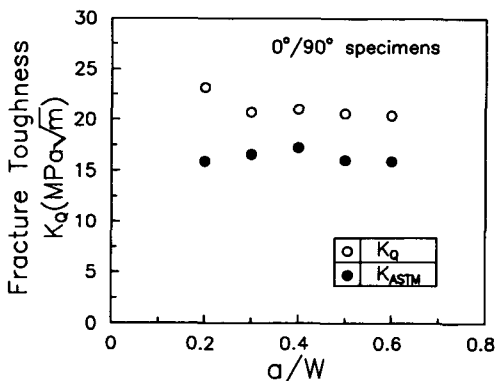


Fig. 8 Comparison of K_q and K_{ASTM} of $0^\circ/90^\circ$ specimens

의 상태이므로 에너지 해방률과 응력확대계수사이에는 식(6)과 같은 관계가 얻어진다. Fig. 8 및 9는 G_q 로부터 산출한 K_q 와 ASTM E399에 의한 K_{ASTM} 의 값을 a/W 에 대하여 나타낸 결과이다. Thorat 등⁽¹⁷⁾은 3점굽힘 시험편의 파괴인성평가에 있어서, E399에 의한 K 값이 G 로부터 환산한 K 값보다 높은 값을 나타내고 있으나 본 연구에서는 K_{ASTM} 이 K_q 에 비하여 오히려 낮은 값을 나타낸다. 또한 $0^\circ/90^\circ$ 시험편에서는 a/W 가 증가함에도 불구하고 이의 값은 거의 일정하여 파괴인성에 미치는 균열깊이($a/W=0.2 \sim 0.6$)의 영향은 없다고 할 수 있다. 그러나 $\pm 45^\circ$ 의 경우는 a/W 가 증가함에 따라 K 값은 저하하므로 파괴인성평가에 있어서 a/W 의 영향이 반드시 고려되어야 하겠다.

준등방성 적층재의 파괴인성평가에서는 등방성체에서 사용되고 있는 형상계수 $f(a/W)$ 에 의하여 검토되는 경우가 많다.^(15,18,19) 그러나 이상의 결과에서 보는 바와 같이 G_q 로부터 산출한 K_q 는 K_{ASTM} 의 값과 일치하지 않는다. 따라서 준등방성재라 하여도 E399에 의하여 K 를 평가하기 위해서는 복합재료의 적층구조에 따른 탄성특성의 변화를 고려한 새로운 형상보정계수 $f^*(a/W)$ 의 산출이 필요하다.

식(8)은 각 시험편의 실험결과 및 식(4)와 (5)의 관계로부터 구한 형상보정계수 $f^*(a/W)$ 의 관계식이다.

$$f^*(a/W) = B_0 + B_1(a/W) + B_2(a/W)^2 + B_3(a/W)^3 + B_4(a/W)^4 \quad (8)$$

$0^\circ/90^\circ$ 시험편 : $B_0 = -6.61, B_1 = 144.5, B_2 = -596.5$

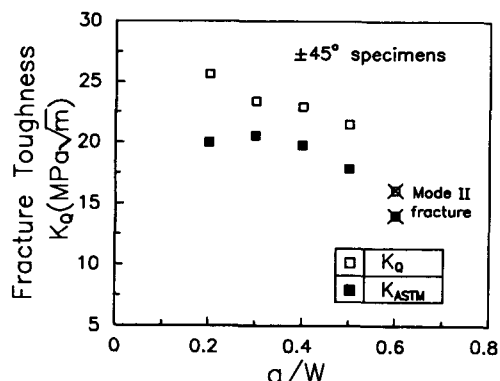
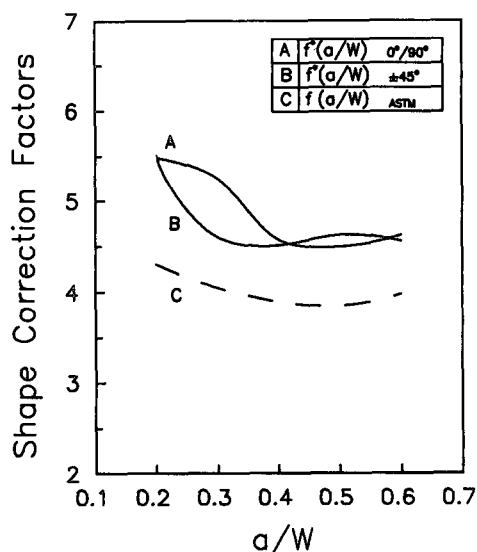


Fig. 9 Comparison of K_q and K_{ASTM} of $\pm 45^\circ$ specimens

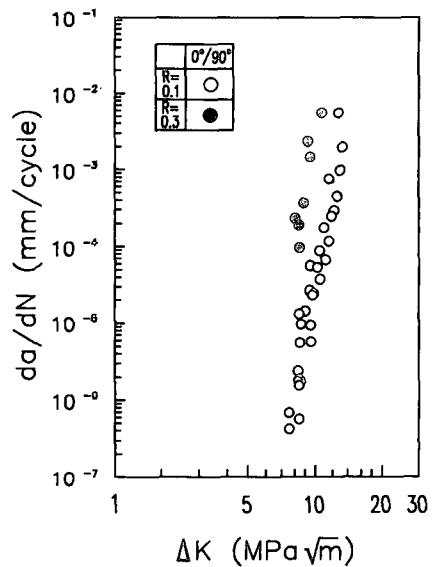
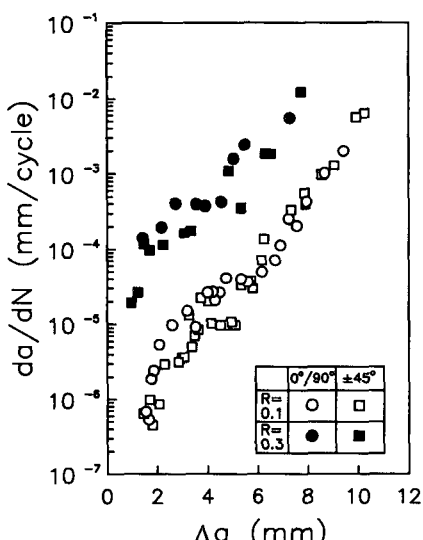
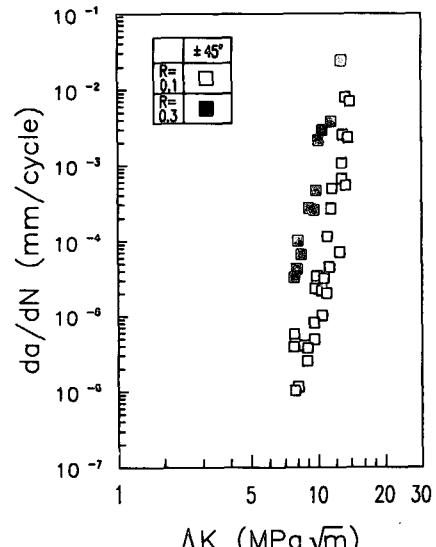
$$B_3 = 999.0, \quad B_4 = -590.4$$

$\pm 45^\circ$ 시험편 : $B_0 = 13.32, \quad B_1 = -69.8, \quad B_2 = 196.2$

$$B_3 = -227.8, \quad B_4 = 90.4$$

Fig. 10은 $f^*(a/W)$ 와 a/W 의 관계를 식(4)의Fig. 10 Variation of $f^*(a/W)$ and $f(a/W)_{ASTM}$ with notch depth a/W

형상보정계수 $f(a/W)$ 와 함께 나타낸 것으로 이들 형상보정계수는 서로 다른 양상을 보이고 있다. 이는 $f^*(a/W)$ 에 시험편에 대한 형상보정 뿐만 아니라 섬유방향에 따른 탄성특성의 변화도 포함되어

Fig. 12 Relation between fatigue crack growth rate da/dN and ΔK for the $0^\circ/90^\circ$ specimens ($a/W = 0.4$)Fig. 11 Relation between fatigue crack growth rate da/dN and crack extension Δa ($a/W = 0.4$)Fig. 13 Relation between fatigue crack growth rate da/dN and ΔK for the $\pm 45^\circ$ specimens ($a/W = 0.4$)

있기 때문이라고 할 수 있다.

4.3 피로균열진전거동

Fig. 11은 각 시험편의 피로균열진전속도 da/dN 과 균열길이 Δa 의 관계로서, $R=0.1$ 에서의 da/dN 은 $R=0.3$ 의 결과에 비하여 현저히 저하하므로 섬유방향에 관계없이 균열진전속도에 R 의 의존성이 있음을 알 수 있다. 또한 $R=0.1$ 의 경우, $\Delta a < 6 \text{ mm}$ 에서는 $0^\circ/90^\circ$ 시험편의 $da/dN_{\text{0.1}}$ $\pm 45^\circ$ 의 것보다 피로균열진전이 어려움을 알 수 있다.

한편 Fig. 12 및 13은 이의 결과로부터 평가한 $da/dN-\Delta K$ 의 관계이다. 전절에서 검토한 바와 같이 ASTM에 의한 K 값은 이방성을 고려한 값보다 과소평가되므로 이 그림에서의 ΔK 는 식(8)의 새로운 형상보정계수 $f^*(a/W)$ 를 이용하여 산출한

것이다.

Table 2는 Paris법칙에 의한 관계지수이다. 동일한 응력비에서 ΔK 에 대한 da/dN 은 $\pm 45^\circ$ 시험편이 $0^\circ/90^\circ$ 의 것에 비하여 낮음을 알 수 있고 또한 $R=0.1$ 의 결과가 $R=0.3$ 의 것에 비하여 피로

Table 2 The values of C and m from $da/dN - \Delta K$ relation

| | R | C | m |
|--------------------|-----|--------------------------|------|
| $0^\circ/90^\circ$ | 0.1 | 1.0597×10^{-19} | 14.6 |
| | 0.3 | 6.2639×10^{-16} | 12.5 |
| $\pm 45^\circ$ | 0.1 | 4.2744×10^{-20} | 14.6 |
| | 0.3 | 4.9784×10^{-17} | 13.1 |

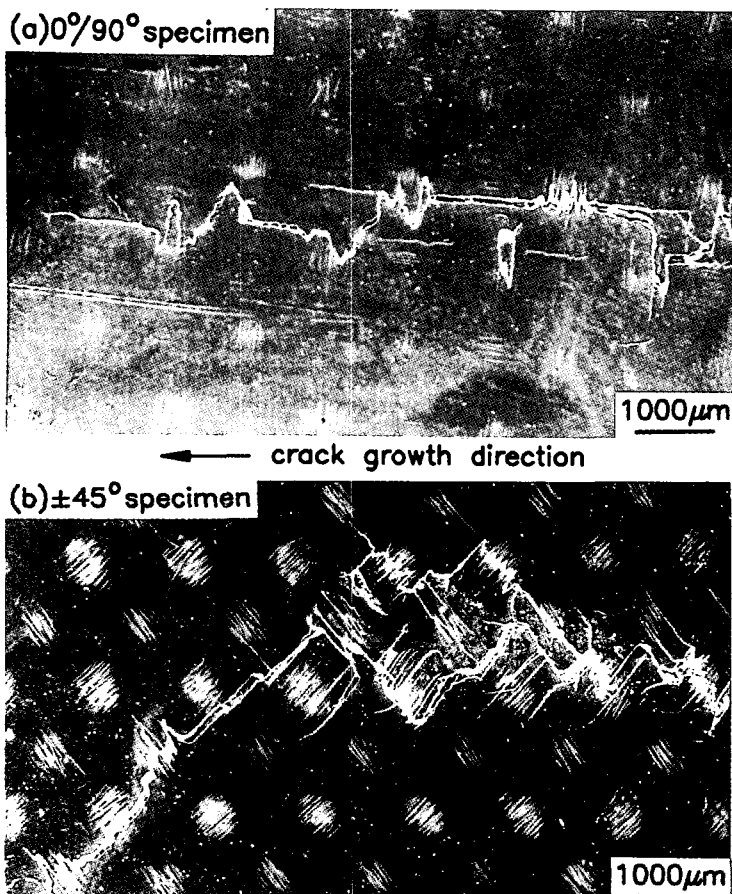


Fig. 14 (a), (b) Features of the fatigue crack growth at $R=0.1$: (a) $0^\circ/90^\circ$ specimen (b) $\pm 45^\circ$ specimen

균열진전속도가 현저히 저하함을 나타낸다. Sur-
esh등⁽²⁰⁾은 DP강의 피로균열진전거동에 있어서 균
열의 굴곡현상이 현저할수록 da/dN 은 저하하며,
이의 요인으로서는 마르텐사이트(martensite) 조직
의 균열진전에 대한 저지역할임을 보고하였다. 이
러한 관점에서 피로균열진전양상을 검토한 예가
Fig. 14이다. $R=0.1$ 에서의 피로균열진전거동은
Fig. 4와 같이 정적거동과 유사하여 $0^{\circ}/90^{\circ}$ 시험편의
경우, 피로균열은 0° 의 섬유방향에서 굴곡되어 진
전하지만 $\pm 45^{\circ}$ 시험편에서는 지그재그형태로 진전
하여 불안정 파괴개시점의 근처에 도달하게 되면
하중방향에 대하여 45° 방향으로 진전한다. 그러나
응력비가 증가하면 $0^{\circ}/90^{\circ}$ 시험편에서는 전자의 경
우에 비하여 균열진전의 굴곡정도가 저하하게 되고,
 $\pm 45^{\circ}$ 시험편에서는 균열진전의 초기단계로부터
불안정하게 진전하는 양상을 나타내었다. 따라서
균열진전에 대한 섬유의 저지결과인 균열굴곡현상
은 피로수명을 향상시키는 주요한 기구임을 알 수
있다.

5. 결 론

Glass/Epoxy 평직(plain woven)복합재료의 파
괴조건 및 피로균열성장거동을 규명하기 위하여 이
에 미치는 섬유방향 및 응력비 R 의 영향을 미시적
및 거시적 관점에서 검토하였다. 얻어진 결과는 다
음과 같다.

(1) $0^{\circ}/90^{\circ}$ 와 $\pm 45^{\circ}$ 시험편에 있어서 초기단계에서
의 미시적 균열성장거동은 서로 다르지만, 거시적
으로는 하중방향에 대하여 모두 수직으로 진전한
다. 그러나 $\pm 45^{\circ}$ 시험편에서는 최대하중점 부근에
서부터 하중방향에 대하여 $+45^{\circ}$ 또는 -45° 방향으
로 불안정파괴가 일어난다.

(2) 에너지 해방률로 부터 K_Q 는 $0^{\circ}/90^{\circ}$ 시험편에
서 균열깊이($a/W=0.2\sim 0.6$)에 관계없이 일정하
지만 $\pm 45^{\circ}$ 의 경우는 a/W 가 증가함에 따라 저하
한다. 또한 K_Q 는 ASTM E399 평가법에 의한 파
괴인성 K_{ASTM} 보다 과대평가되며, 이는 이방성효과
를 고려한 형상보정계수 $f^*(a/W)$ 의 영향이다.

(3) 피로균열진전속도 da/dN 과 $f^*(a/W)$ 에 의
한 ΔK 의 관계에서, da/dN 은 동일한 ΔK 에 대
하여 $\pm 45^{\circ}$ 시험편이 $0^{\circ}/90^{\circ}$ 보다 그리고 응력비 R 이
감소함에 따라 저하한다. 이는 미시적 피로균열진
전에 대한 섬유의 저지결과인 균열굴곡현상에 기인

한다.

후 기

본 연구는 교육부 지원으로 수행되었으며 관계자
여러분께 감사드립니다.

참고문헌

- (1) Tan, S.C., 1989, "Mixed-Mode Fracture of Notched Unidirectional and Off-Axis Laminates under Tensile Loading," *J. of Comp. Mat.*, Vol. 23, pp.1082~1105.
- (2) Bäcklund, J. and Aronsson, C.G., 1986, "Tensile Fracture of Laminates with Holes," *J. of Comp. Mat.*, Vol.20, pp.259~285.
- (3) Peters, P.W.M., 1983, "On the Increasing Fracture Toughness at Increasing Notch Length of $0/90$ and $0/\pm 45/0$ Graphite/Epoxy Laminates," *Composites*, Vol.14, No.4, pp.365~369.
- (4) 김정규, 박진성, 1989, "FRP(SMC재)의 균열
성장거동과 파괴인성평가에 관한 연구," 대한기
계학회논문집, 제13권, 제3호, pp.472~478.
- (5) Poursartip, A. and Chinatambi, N., 1989,
"Fatigue Damage Development in Notched ($0_2/\pm 45$)_s Laminates," *ASTM STP 1012*, pp.45~65.
- (6) Ye, L., 1989, "On Fatigue Damage Accumulation and Material Degradation in Composite Materials," *Comp. Sci. Tech.*, Vol.36, pp.339~350
- (7) Wang, S.S., Chim, E.S.M. and Zahlan, N.M.,
1983, "Fatigue Crack Propagation in Random
Short-Fiber SMC Composite," *J. of Comp. Mat.*,
Vol.17, pp.250~266.
- (8) Kocsis, J.K., 1990, "Effects of Processing In
duced Microstructure on the Fatigue Crack
Propagation of Unfilled and Short Fiber-
Reinforced PA-6," *Composites*, Vol.21, No.3, pp.
243~254.
- (9) Hojo, M., 1986, "Effect of Water Environ
ment on Propagation of Delamination Fatigue
Cracks in CFRP," 第4回次世代産業基盤技術
Symposium, pp.299~314.
- (10) Amijima, S., Tanimoto, T., Matsuoka, T. and
Mori, M., 1985, "Fatigue Crack Propagation

- Process of Single Edge-Cracked FRP," J. Soc. Mat. Sci., Japan, Vol.34, No.378, pp.286~292
- (11) Ye, L., 1989, "An Energy Release Rate Criterion for Crack Growth in Unidirectional Composite Materials," Eng. Frac. Mech., Vol.32, No. 6, pp.861~869.
- (12) ASTM E399-83, 1983, "Standard Test Method for Plane-Strain Fracture Toughness of Metallic Materials."
- (13) Slepetz, J.M and Carlson, L., 1975, "Fracture of Composite Compact tension Specimens," ASTM STP 593, pp.143~162.
- (14) Kawada, H., Otsuka, T., Kajitani, T. and Hayashi I., 1985, "Effects of Thickness and Specimen Size on Fracture Toughness of Glass/Epoxy Laminates," J. Soc. Mat. Sci., Japan, Vol. 34, No.377, pp.164~170.
- (15) Garg, A.C., 1986, "The Fracture Mechanics of Some Graphite Fiber-Reinforced Epoxy Laminates, Part I," Composites, Vol. 17, No. 2, pp.141 ~149.
- (16) Gaggar, S. and Broutman, L.J., 1977, "Fracture Toughness of Random Glass Fiber Epoxy Composites : An Experimental Investigation," ASTM STP 631, pp.310~330.
- (17) Thorat, H.T. and Lakkad, S.C., 1983, "Fracture Toughness of Unidirectional Glass/Carbon Hybrid Composites," J. of Comp. Mat., Vol.17, pp.2~14.
- (18) Yanada, H. and Homma, H., 1983, "Study of Fracture Toughness Evaluation of FRP," J. Mat. Sci., Vol.18, pp.133~139.
- (19) Bathias, C., Esnault, R. and Pellas, J., 1981, "Application of Fracture Mechanics to Graphite Fiber-Reinforced Composites," Composites, Vol. 12, pp.195~200.
- (20) Suresh, S., 1983, "Micromechanisms of Fatigue Crack Growth Retardation Following Overloads," Eng. Frac. Mech., Vol.18, No.3, pp. 577~593